2025~2026学年（上）期中质量监测

高一地理

注 意 事 项

考生在答题前请认真阅读本注意事项及各题答题要求：

1. **本试卷共8页，满分为100分，考试时间为75分钟。考试结束后，请将答题卡交回。**
2. **答题前，请务必将自己的姓名、准考证号用0.5毫米黑色墨水的签字笔填写在试卷及答题卡的规定位置。**
3. **请认真核对监考员在答题卡上所粘贴的条形码上的姓名、准考证号与本人是否相符。**
4. **作答选择题，必须用2B铅笔将答题卡上对应选项的方框涂满、涂黑；如需改动，请用橡皮擦干净后，再选涂其它答案。作答非选择题，必须用0.5毫米黑色墨水的签字笔在答题卡上的指定位置作答，在其它位置作答一律无效。**
5. **如需作图，必须用2B铅笔绘、写清楚，线条、符号等须加黑、加粗。**

一、单项选择题：共22题，每题2分，共44分。每题只有一个选项最符合题意。

2025年11月1日4时58分，神舟20号航天员与神舟21号航天员进行了中国航天史上的第七次太空会师。“天宫”空间站轨道高度约400～450千米。图1为“我国‘天宫’空间站照片”，图2为“神舟20号与21号航天员太空合影”。据此完成1～3小题。

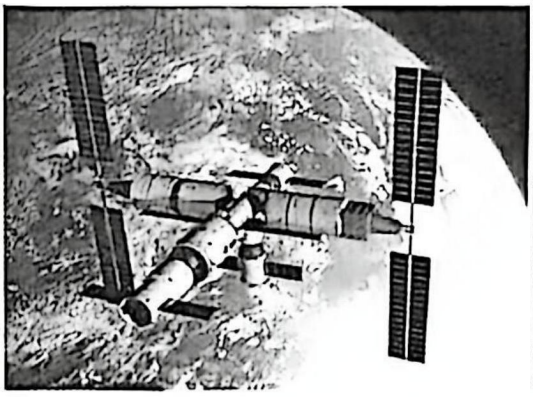


图1



图2

1．距离“天宫”空间站最近的自然天体是

A．恒星　　B．行星　　C．卫星　　D．星云

2．中国“天宫”空间站所在的大气层

A．臭氧浓度高

B．大气温度高　　C．对流运动强　　D．太阳辐射强

3．为便于地面测站与“天宫”空间站的联系，需重点监控的是

A．太阳辐射

B．阴雨天气　　C．太阳活动　　D．火山地震

《国家宝藏》节目曾介绍过一件牛形青铜器——商“亚长”牛尊（图 3），其原型是商王狩猎的主要对象——圣水牛，现已灭绝。在河南安阳殷墟遗址中发现了大量圣水牛骨骼。据此完成 4～5 小题。



图 3

4. 河南安阳殷墟遗址中，发掘出有圣水牛骨骼的地层形成于

A. 元古宙　　B. 古生代　　C. 中生代　　D. 新生代

5. 圣水牛生存时期黄河流域的环境特征可能是

A. 湖沼广布　　B. 风沙肆虐　　C. 冰天雪地　　D. 植被稀疏

受多种因素影响，我国年太阳辐射量地区分布差异明显，图 4 为“我国年太阳辐射分布示意图”。据此完成 6～8 小题。

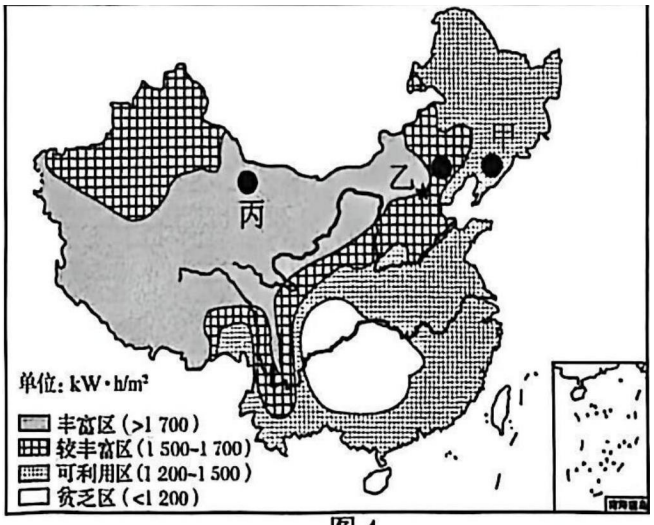


图 4

6. 关于我国年太阳辐射量分布特征，描述最恰当的是

A. 东多西少　　B. 南多北少　　C. 东北大于西北　　D. 西北大于东南

7. 影响甲乙丙三地年太阳辐射量差异的主要因素是

A. 降水　　B. 纬度　　C. 地形　　D. 植被

8. 下列矿产中，与太阳辐射密切相关的是

A. 铁矿石　　B. 铜矿石　　C. 天然气　　D. 锌矿石

图 5 为“2025 年 11 月 9 日发布的天气预报”，图 6 为“大气受热过程示意图”。据此回答 9～11 小题。

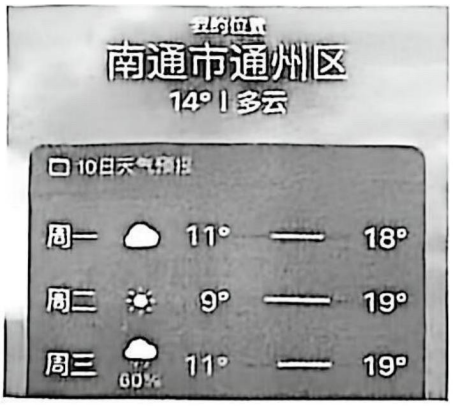


图 5

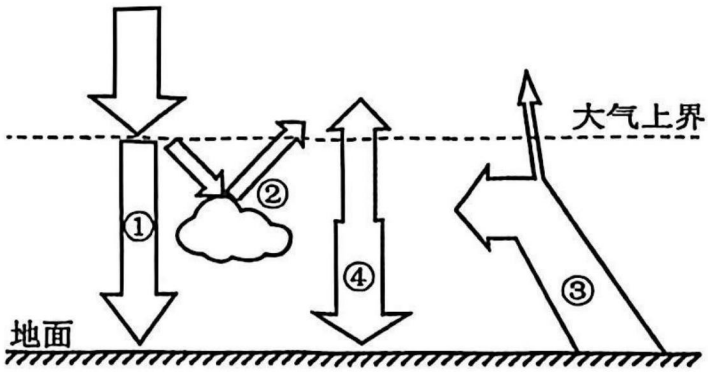


图 6

9．与周一相比，周二

A．气温升高　　B．温差变大　　C．气温降低　　D．温差减小

10．与周二相比，周三的最低气温发生了变化，主要原因是

A．①增大　　B．②减小　　C．③增大　　D．④增大

11．使近地面大气温度升高的热量传递过程是

A．①→②　　B．①→③　　C．④→③　　D．③→④

我国某河流沿岸悬崖上有一处洞穴，洞穴内多滴水。图 7 为“该河谷及上方洞穴剖面图”。据此完成 12～14 小题。

12．图示洞穴景观多见于我国

A．贵州省　　B．辽宁省　　C．山东省　　D．甘肃省

13．推测 M 的形成主要受

A．流水淀积　　B．风化作用　　C．流水侵蚀　　D．崩塌作用

14．若 M 进一步发育，最终可形成

A．石钟乳　　B．峰林　　C．石柱　　D．石芽

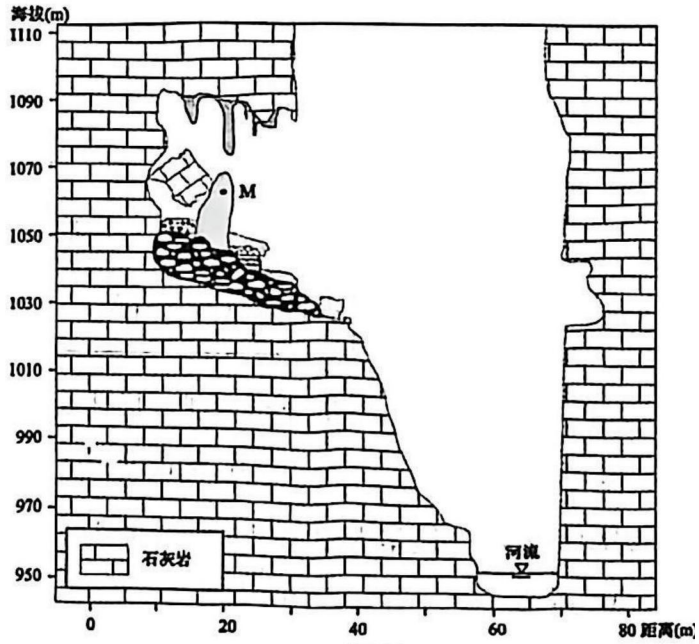


图 7

帕隆藏布位于西藏东南部，自东向西汇入雅鲁藏布江。该流域波密-索通段山高谷深，海洋性冰川广布。在气候变化的影响下，当地高山区泥石流更趋频发。图 8 为“帕隆藏布流域波密-索通段泥石流扇分布示意图”。据此完成 15～16 题。

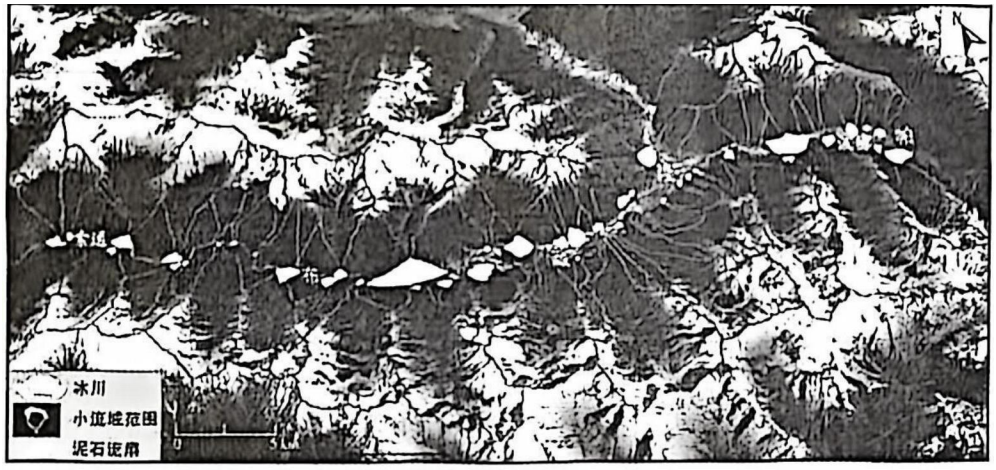


图 8

15. 该区域常见的地貌主要有

A. 三角洲地貌　　B. 角峰地貌　　C. 喀斯特地貌　　D. 峡湾地貌

16. 该区域大型泥石流扇物质的主要特征是

A. 结构紧实　　B. 分选性差　　C. 磨圆度高　　D. 颗粒物小

阿拉善苏宏图黑戈壁地区位于巴丹吉林沙漠东北缘，海拔为 900～1200 米，冬春季节多大风，主导风向为西北风，区内多新月形沙丘、风蚀戈壁、灌丛沙丘等。图 9 为“该区内某地灌丛沙丘景观”。据此完成 17～19 小题。

17. 灌丛位于沙堆的

A. 东南侧　　B. 西南侧　　C. 西北侧　　D. 东北侧

18. 与该地新月形沙丘成因相同的地形区是

A. 东北平原　　B. 华北平原　　C. 云贵高原　　D. 黄土高原

19. 灌丛沙丘多出现在

A. 农田边缘　　B. 绿洲边缘　　C. 山麓地带　　D. 沙漠内部



图 9

为研究热力环流，南通某中学地理兴趣小组做如下实验，具体步骤如下：①将一盆黄沙和一盆茂密的草皮分别放入长方形透明玻璃缸的两端；②用保鲜膜把玻璃缸上部开口处盖严；③将玻璃缸放置在室外；④十几分钟后，将一束香点燃，烟头向下插入玻璃缸内。（如图 10）据此完成 20～22 小题。

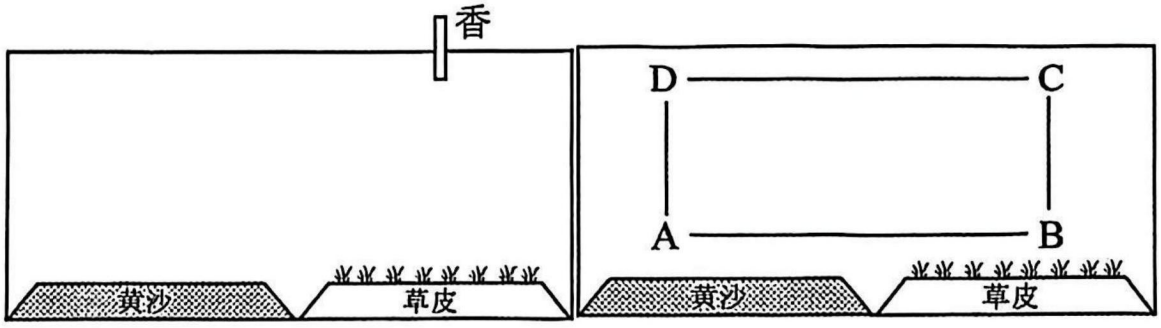


图 10

图 11

20. 实验过程中，使用长方形透明玻璃缸的主要目的是

①便于观察实验过程②减少太阳辐射进入③阻隔外界空气干扰④降低黄沙、草皮间温差

A. ①②　　B. ③④　　C. ②④　　D. ①③

21. 热力环流形成后，图 11 玻璃缸内四处气压大小的排序是

A. B>A>D>C　　B. D>A>B>C

C. A>B>D>C　　D. B>D>C>A

22. 该地理兴趣小组选择实验的时间，最恰当的是

A. 晴天的早晨　　B. 晴天的午后　　C. 阴天的早晨　　D. 阴天的午后

二、非选择题：共 3 题，共 56 分。

23. 阅读材料，回答下列问题。（18 分）

材料一 为满足市民生活需求，拉萨市近年来大力发展蔬菜种植。在山东寿光技术员指导下，当地农民向温室增施二氧化碳等措施来改善蔬菜生长的条件，取得明显成效。

材料二 图 12 是我国部分地区年太阳辐射总量分布示意图。

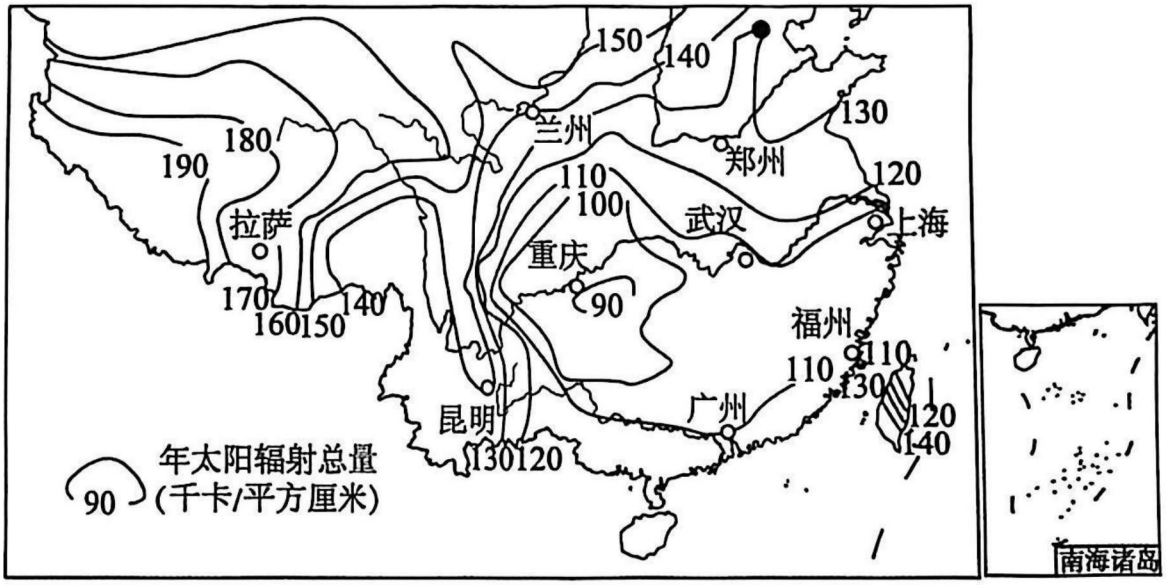


图 12

（1） 拉萨、重庆、上海三地，年太阳辐射量最大的是_____，最小的是_____。（4 分）

（2） 与重庆比较，指出拉萨低层大气主要成分的差异。（4 分）

（3） 解释拉萨与重庆年太阳辐射量差异较大的主要原因。（4 分）

（4） 说明当地农民向温室增施二氧化碳以实现增产的合理性。（6 分）

24. 阅读材料，回答下列问题。(18 分)

材料一 海陆风是指受海陆热力性质差异影响形成的具有日变化周期的局地风。

材料二 图 13 为“海南岛位置和地形图”，图 14 为“海南岛临高 2025 年 7 月海陆风日变化示意图”。

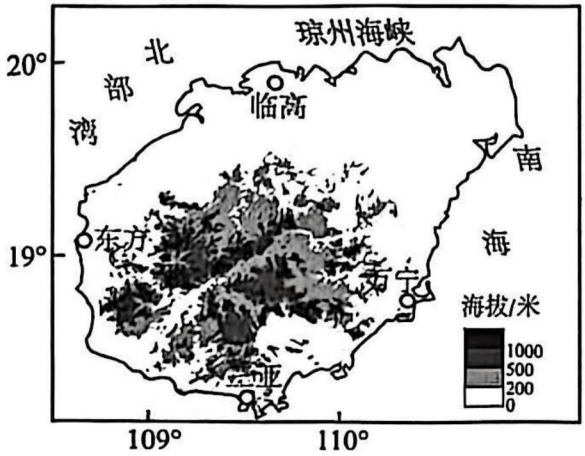


图 13

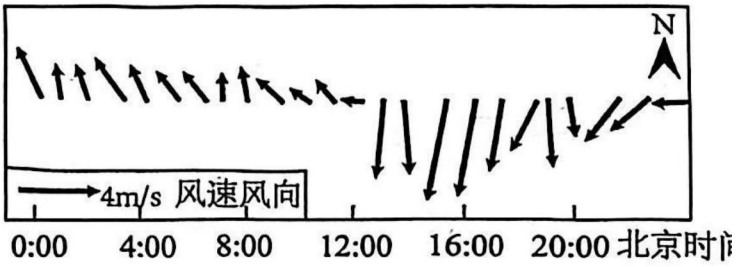


图 14

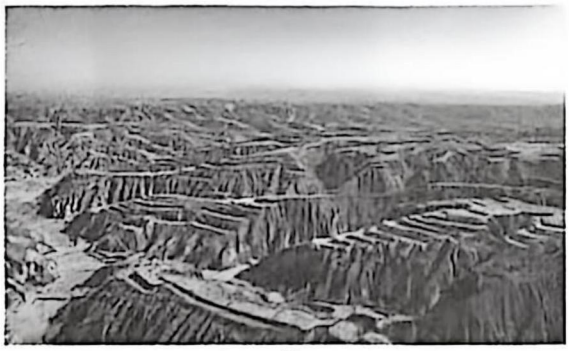
（1） 临高市 8 时的风向为_____，16 时的风向为_____，陆风转海风的时刻是_____，绘制临高市 8 时的热力环流示意图。（8 分）

（2） 说明海南岛临高市 16 时风向形成的原因。（4 分）

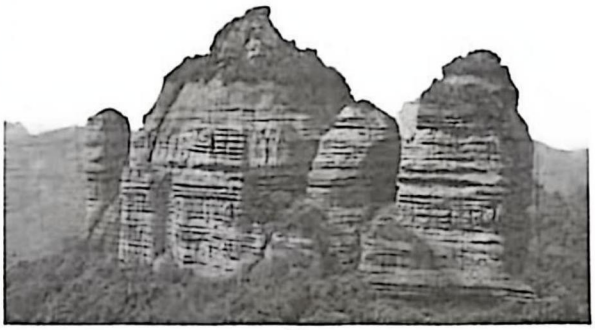
（3） 我国海南岛夏季午后多雨。结合热力环流的原理分析其形成过程。（4 分）

25. 阅读材料，回答下列问题。（20 分）

材料一 图①—④为我国四种常见的地貌景观照片图。



①



②



③



④

（1） 写出①-④地貌景观与下列地貌类型所对应的序号。（4 分）

丹霞地貌_____ 喀斯特地貌_____ 黄土地貌_____ 戈壁地貌_____

（2） 描述图③地貌景观的特征。（6 分）

（3） 分别写出图①和图④地表物质组成，并比较两者颗粒大小。（6 分）

（4） 说出图④地貌形成的动力条件。（4 分）

2025~2026学年（上）期中质量监测

高一地理参考答案与评分标准

一、单项选择题：共23题，每题2分，共44分。

1. B　2. D　3. C　4. D　5. A　6. D　7. A　8. C　9. B　10. D

11. B　12. A　13. A　14. C　15. B　16. B　17. A　18. D　19. B　20. D

21. A　22. B

二、非选择题：共3题，共56分。

23.（18分）

（1）拉萨　重庆（4分）

（2）拉萨低层大气中氧气；水汽；杂质含量更少。（任答2点给4分）

（3）拉萨海拔高，大气稀薄；晴天多，云层少；大气透明度高，太阳辐射被削弱得少。（6分）

（4）拉萨海拔高，气温较低；二氧化碳能吸收地面辐射而增温；二氧化碳能促进植物的光合作用。（任答两点得4分）

24.（18分）

（1）偏南风；偏北风；12时；略（8分）

（2）海洋和陆地的热力性质差异显著；白天陆地升温快，空气上升，形成低压；海洋形成高压，风由海洋吹向陆地。（6分）

（3）午后吹海风，带来湿润水汽；海南岛午后气温高，空气膨胀上升，上升气流遇冷易冷凝形成降水。（4分）

25.（20分）

（1）2 3 1 4 。（4分）

（2）主要由石灰岩组成；山坡陡峭；相对高度较小；呈塔形或锥形；奇峰罗列，远望如林；有坝子镶嵌其中。（任答3点得6分）

（3）①：粉砂，黏土为主；④：砾石，碎石为主；④颗粒更大。（6分）

（3）流水堆积；风力侵蚀（4分）